

Lichteffizienz:

122 Lumen/Watt

CRI:

CRI: 85,2

Farbtemperatur:

6816 K

Lichtstärke: 778 lm

Leuchtdichte: 334 cd

Leistung: 6,4 W

Powerfaktor: 1,0



Bestellnummer:

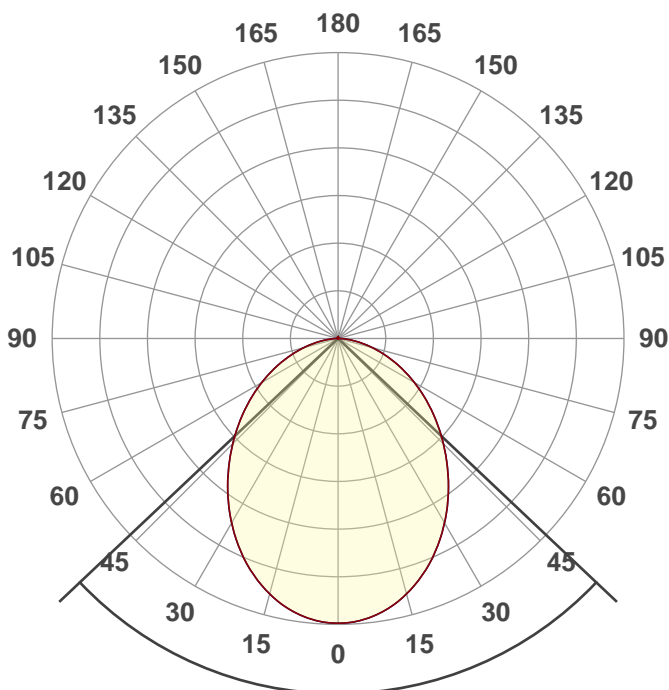
L5408130125\_6500K

Messung erstellt:

11.01.2021 13:58:59

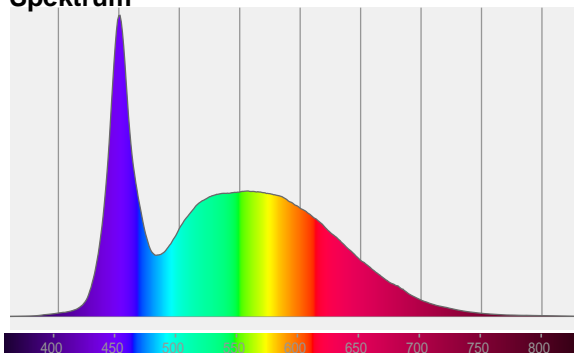
Beschreibung:

LED Deckeneinbau - rund -  
chrom sat. - IP54 - 24V/DC -  
7W - 2700K-6500K - 715-  
778lm - SOLIDO  
(angeschlossen an  
Labornetzteil)

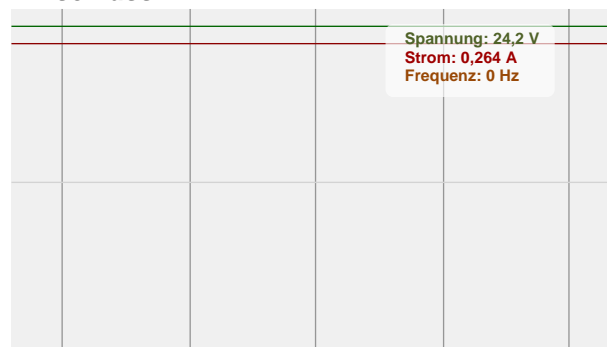


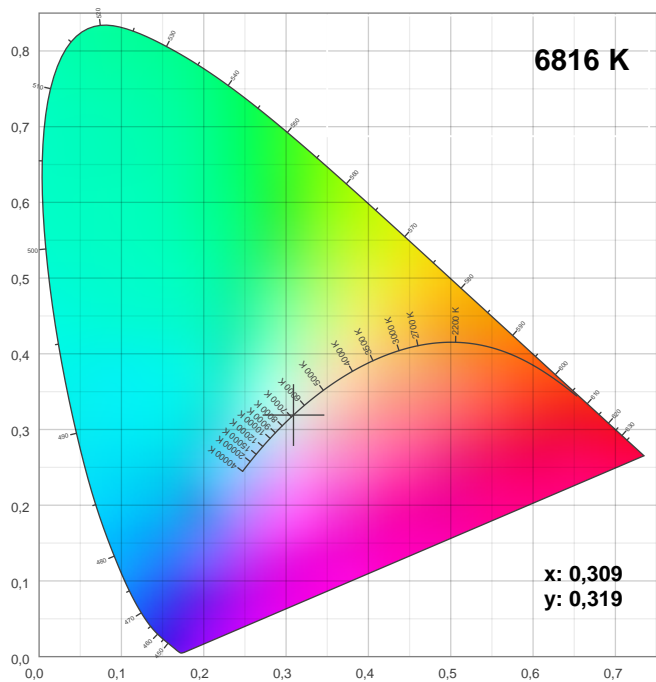
Abstrahlwinkel **93,3°**

Spektrum



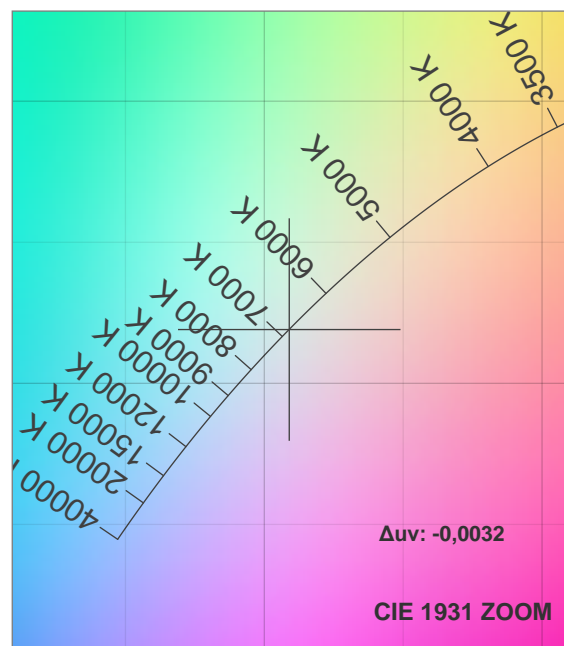
Anschluss



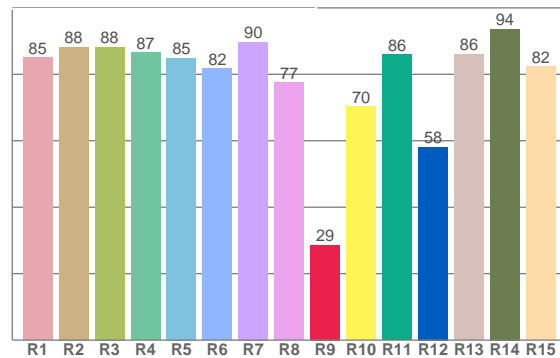
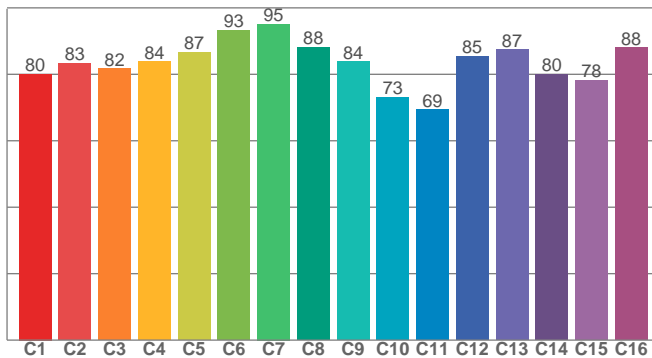


TM30: 83,6

CIE 1931



CRI: 85,2 (R1-R8)



CRI R-Werte, nur R1-R8 werden zur Berechnung des endgültigen CRI-Wertes verwendet

| R1   | R2   | R3   | R4   | R5   | R6   | R7   | R8   | R9   | R10  | R11  | R12  | R13  | R14  | R15  |
|------|------|------|------|------|------|------|------|------|------|------|------|------|------|------|
| 85,0 | 88,2 | 88,2 | 86,5 | 84,9 | 81,7 | 89,7 | 77,4 | 28,6 | 70,3 | 86,0 | 58,1 | 86,1 | 93,6 | 82,2 |

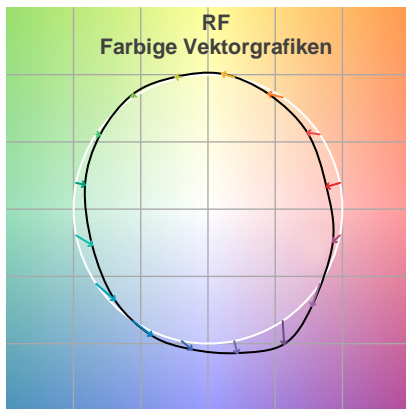
TM30 C-Werte, 16 eingelagerte Werte von insgesamt 99 C-Werten

| C1   | C2   | C3   | C4   | C5   | C6   | C7   | C8   | C9   | C10  | C11  | C12  | C13  | C14  | C15  | C16  |
|------|------|------|------|------|------|------|------|------|------|------|------|------|------|------|------|
| 80,1 | 83,3 | 81,7 | 83,8 | 86,6 | 93,2 | 95,1 | 88,1 | 83,8 | 73,1 | 69,3 | 85,4 | 87,4 | 80,0 | 78,2 | 88,0 |

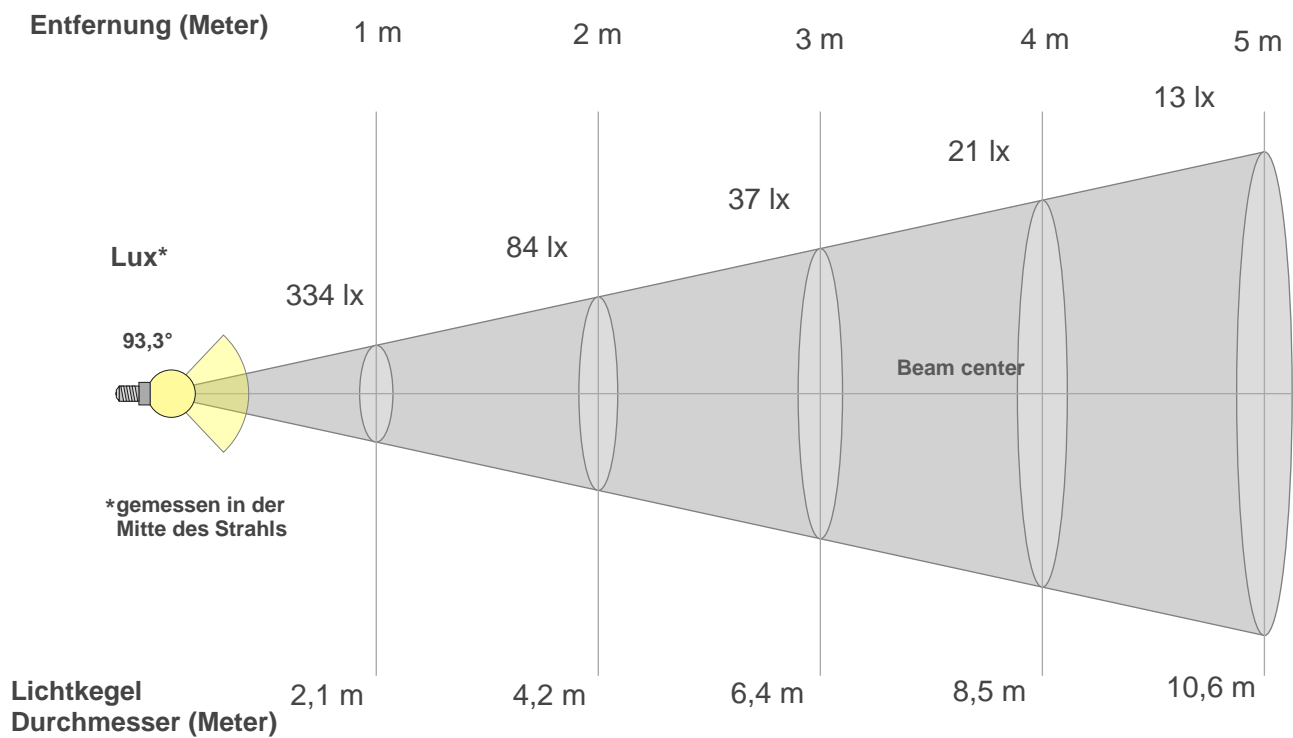
### Farbparameter

| Farbtemperatur<br>CCT | CRI-Wert rendering<br>CRI | Rotanteil R9<br>CRI R9 | Farbtreue<br>TM30 Rf | Farbbereich<br>TM30 Rg |
|-----------------------|---------------------------|------------------------|----------------------|------------------------|
| 6816 K                | 85,2                      | 28,6                   | 83,6                 | 97,5                   |

## TM30 Details



## Lichtstrahl Details



## Strahlintensitäten von 1-20m

| 1m    | 2m   | 3m   | 4m   | 5m   | 6m  | 7m  | 8m  | 9m  | 10m | 3,3m   | 6,6m  | 9,8m  | 13,1m | 16,4m | 19,7m | 23m   | 26,2m | 29,5m | 32,8m |
|-------|------|------|------|------|-----|-----|-----|-----|-----|--------|-------|-------|-------|-------|-------|-------|-------|-------|-------|
| 334lx | 84lx | 37lx | 21lx | 13lx | 9lx | 7lx | 5lx | 4lx | 3lx | 31,1lx | 7,8lx | 3,5lx | 1,9lx | 1,2lx | 0,9lx | 0,6lx | 0,5lx | 0,4lx | 0,3lx |

## Glare Evaluation According to UGR

|  |     |   |      |      |      |      |   |      |      |      |      |
|--|-----|---|------|------|------|------|---|------|------|------|------|
| p Decke  |     | 70  | 70   | 50   | 50   | 30   | 70  | 70   | 50   | 50   | 30   |
| p Wand   |     | 50  | 30   | 50   | 30   | 30   | 50  | 30   | 50   | 30   | 30   |
| p Boden  |     | 20  | 20   | 20   | 20   | 20   | 20  | 20   | 20   | 20   | 20   |
| Raumgrößen<br>X      Y   |     | Blickrichtung rechtwinklig zur<br>Lampenachse |      |      |      |      | Blickrichtung parallel zur<br>Lampenachse |      |      |      |      |
| 2H   | 2H  | 28,1  | 29,2 | 28,3 | 29,5 | 29,8 | 28,1                                      | 29,2 | 28,3 | 29,5 | 29,8 |
|  | 3H  | 29,3  | 30,5 | 29,7 | 30,8 | 31,0 | 29,3                                      | 30,5 | 29,7 | 30,8 | 31,0 |
|  | 4H  | 29,9  | 31,0 | 30,3 | 31,3 | 31,6 | 29,9                                      | 31,0 | 30,3 | 31,3 | 31,6 |
|  | 6H  | 30,3  | 31,3 | 30,6 | 31,6 | 32,0 | 30,3                                      | 31,3 | 30,6 | 31,6 | 32,0 |
|  | 8H  | 30,4  | 31,4 | 30,8 | 31,7 | 32,1 | 30,4                                      | 31,4 | 30,8 | 31,7 | 32,1 |
|  | 12H | 30,5  | 31,5 | 30,9 | 31,8 | 32,3 | 30,5                                      | 31,5 | 30,9 | 31,8 | 32,3 |
| 4H   | 2H  | 28,6  | 29,7 | 29,0 | 30,0 | 30,3 | 28,6                                      | 29,7 | 29,0 | 30,0 | 30,3 |
|  | 3H  | 30,2  | 31,1 | 30,5 | 31,5 | 31,9 | 30,2                                      | 31,1 | 30,5 | 31,5 | 31,9 |
|  | 4H  | 30,8  | 31,6 | 31,2 | 32,0 | 32,6 | 30,8                                      | 31,6 | 31,2 | 32,0 | 32,6 |
|  | 6H  | 31,3  | 32,1 | 31,8 | 32,5 | 32,8 | 31,3                                      | 32,1 | 31,8 | 32,5 | 32,8 |
|  | 8H  | 31,4  | 32,2 | 31,9 | 32,6 | 33,0 | 31,4                                      | 32,2 | 31,9 | 32,6 | 33,0 |
|  | 12H | 31,6  | 32,2 | 32,1 | 32,6 | 33,1 | 31,6                                      | 32,2 | 32,1 | 32,6 | 33,1 |
| 8H   | 4H  | 31,0  | 31,8 | 31,5 | 32,1 | 32,5 | 31,0                                      | 31,8 | 31,5 | 32,1 | 32,5 |
|  | 6H  | 31,7  | 32,2 | 32,2 | 32,7 | 33,3 | 31,7                                      | 32,2 | 32,2 | 32,7 | 33,3 |
|  | 8H  | 31,9  | 32,4 | 32,5 | 33,0 | 33,6 | 31,9                                      | 32,4 | 32,5 | 33,0 | 33,6 |
|  | 12H | 32,1  | 32,6 | 32,7 | 33,1 | 33,7 | 32,1                                      | 32,6 | 32,7 | 33,1 | 33,7 |
| 12H  | 4H  | 31,0  | 31,6 | 31,5 | 32,1 | 32,6 | 31,0                                      | 31,6 | 31,5 | 32,1 | 32,6 |
|  | 6H  | 31,7  | 32,2 | 32,3 | 32,8 | 33,4 | 31,7                                      | 32,2 | 32,3 | 32,8 | 33,4 |
|  | 8H  | 32,0  | 32,4 | 32,6 | 33,0 | 33,6 | 32,0                                      | 32,4 | 32,6 | 33,0 | 33,6 |
| Variation der Beobachterposition für den Leuchtenabstand S       |     |   |      |      |      |      |   |      |      |      |      |
| S = 1.0H   |     | 0,1 / -0,1                                    |      |      |      |      | 0,1 / -0,1                                |      |      |      |      |
| S = 1.5H   |     | 0,2 / -0,3                                    |      |      |      |      | 0,2 / -0,3                                |      |      |      |      |
| S = 2.0H   |     | 0,5 / -0,6                                    |      |      |      |      | 0,5 / -0,6                                |      |      |      |      |
| Standard-Tabelle   |     | n/a   |      |      |      |      | n/a                                       |      |      |      |      |
| Korrektur<br>Zusammenfassung                                     |     | n/a   |      |      |      |      | n/a                                       |      |      |      |      |
| Korrigierte Blendungsindizes bezogen auf 778 lm Gesamtlichtstrom |     |   |      |      |      |      |   |      |      |      |      |